

トーラス型マルチプロセッサシステム上 での分枝限定アルゴリズム

川口 剛

真栄田 保

喜屋武 盛基

琉球大学 工学部

あらまし トーラス型マルチプロセッサシステム上での並列分枝限定アルゴリズムを提案する。並列分枝限定アルゴリズムに関する研究は、負荷分散手法の容易さのため、主に共有メモリ型システムに対して行われているが、このシステムは並列度に関して限界がある。一方、トーラス型システムは、木型システムと同様、高並列度を実現するのに適した構造をもつ。提案するアルゴリズムでは、部分問題を各プロセッサに均一に配分するための負荷分散手法が工夫されている。そして、ナップサック問題を用いた場合のシミュレーション結果から、本論文で提案するアルゴリズムの加速指数が、木型システムを改良したDONシステム（二重結合木型システム）に対する既存のアルゴリズムの加速指数より大きくなることが確かめられる。また、DONシステムに対するアルゴリズムと同様、問題の規模が大きくなるほど加速指数が増加し、しかも比較的計算時間を多く要す問題では加速指数がプロセッサの数より大きくなることが確かめられる。

A Parallel Branch-and-Bound Algorithm for a Torus Machine

Tsuyoshi KAWAGUCHI

Tamotsu MAEDA

Seiki KYAN

University of the Ryukyus

Abstract In this paper we propose a parallel algorithm to execute branch-and-bound procedure on a torus machine with additional global links. The torus network is used when processors send subproblems to the respective adjacent processors in order to get a balanced work load. And global links are used for broadcasting the newly obtained temporary solution to all processors. Using the knapsack problem, the performance of the proposed algorithm is evaluated and is compared with the performance of a parallel branch-and-bound algorithm for an improved tree machine.

第1章 まえがき

分枝限定法は、与えられた問題を部分問題に分割して解き、部分問題に対する最適解(局所最適解)の中で最良の解を全体の最適解とする手法である⁽¹⁾。分枝限定法はほとんどすべての組合せ最適化問題に適用できる幅広い計算手法であるが、大規模な問題にこの手法を適用する場合には多くの計算時間を必要とする。このようなことから、最近、分枝限定法を並列計算機上で実行させるための並列分枝限定アルゴリズムに関する研究が行われてきている^{(2)~(6)}。

並列計算機のアーキテクチャとしては様々なものが提案されているが⁽⁷⁾、並列分枝限定アルゴリズムに適したアーキテクチャはまだ確立されていない。文献(2)~(4)では共有メモリ型マルチプロセッサシステムに対するアルゴリズムが提案されている。また文献(5)では、木型システムを木の葉で連結した二重木型システム(DONシステム)に対するアルゴリズムが提案されている。更に文献(6)では、プロセッサを環状に結合したシステム上でのアルゴリズムが報告されている。共有メモリ型システムはプロセッサ間の負荷分散を最も柔軟に行うことができるシステムであるが、プロセッサ間のメモリアクセス競合のため、その並列度は30程度が限界である。また、木型システムやDONシステムは並列度を上げるためには優れているが、次のような問題点が指摘されている⁽⁵⁾。これらのシステムでは、各プロセッサは、親プロセッサ上の部分問題の分枝の結果得られる部分問題を受け取り、これを解く。従って、親プロセッサ上の部分問題に対して分枝が行われない場合には、子プロセッサは遊休状態に落ち入り、この遊休状態は更に下位にあるプロセッサに次々と伝播して行く。

本論文では、トーラス型マルチプロセッサシステム上での並列分枝限定アルゴリズムを提案する。このシステムはプロセッサを格子状に結合するので、木型システムと同様、並列度を上げるために適している。従って、プロセッサ間の負荷分散手法が重要となるが、本論文で提案する並列分枝限定アルゴリズムでは次のような負荷分散手法を用いる。各プロセッサは、部分問題を蓄えるためのスタックを持ち、各繰り返しにおいてスタックの先頭の部分問題を解く。そして、分枝の結果生じる部分問題の半分を自分のスタックに挿入し、残

りの半分を下位プロセッサに送る。この操作によって、同じ列に配置されたプロセッサ間での負荷分散がはかれる。また、各繰り返しにおいて、プロセッサは左右のプロセッサと部分問題の数の均一化を行う。この操作によって、同じ行に配置されたプロセッサ間での負荷分散がはかれる。

ナップサック問題を用いた場合のシミュレーション結果から、本論文で提案したアルゴリズムの加速指数が、DONシステムに対するアルゴリズム⁽⁵⁾の加速指数より大きくなることが確かめられる。また、DONシステムに対するアルゴリズム同様、問題の規模が大きくなる程加速指数が増加し、しかも比較的時間を要す問題では、加速指数がプロセッサの数よりも大きくなるという結果が得られる。

第2章 トーラス型システム

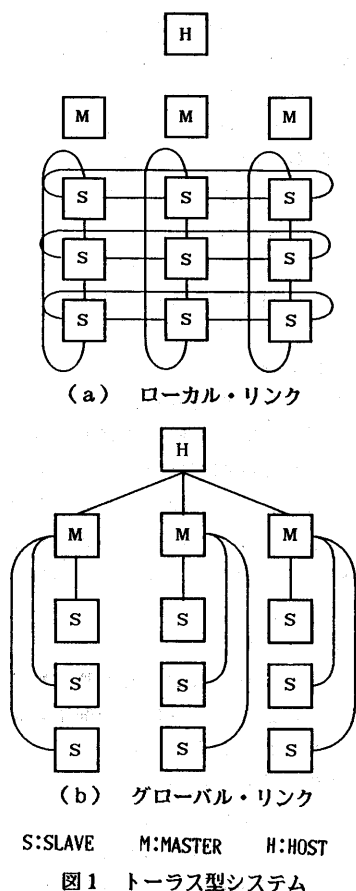
本論文で用いるトーラス型マルチプロセッサシステム(以後トーラス型システムと略す)は、SLAVEと呼ばれる m^2 個のプロセッサ、MASTERと呼ばれる m 個のプロセッサ、及びホスト計算機(HOST)から構成される。但し、 m は任意の正の整数である。便宜上、 m^2 個のSLAVEは図1に示すように m 行 m 列の格子点上に配置されているものと考え、 i 行 j 列($0 \leq i \leq m-1, 0 \leq j \leq m-1$)の位置にあるSLAVEをSLAVE(i, j)で表す。但し、図1におけるH、M、Sは各々HOST、MASTER、SLAVEを表す。更に、SLAVE(i, j)に対して、SLAVE($((i-1) \bmod m, j)$)、SLAVE($((i+1) \bmod m, j)$)、SLAVE($(i, (j-1) \bmod m)$)、SLAVE($(i, (j+1) \bmod m)$)を、各々、上位SLAVE、下位SLAVE、左隣りのSLAVE、右隣りのSLAVEと呼ぶ。以下に、トーラス型システムの詳細を記述する。

(1) m^2 個のSLAVEは図1(a)に示すようなトーラス網によって結合されている。即ち、各SLAVEは上位、下位、左隣り、右隣りの4個のSLAVEと結合されている。この結合網をローカル・リンクと呼ぶ。ローカル・リンクは、各SLAVEが自分に隣接する4個のSLAVEと通信を行う場合に使用される。

(2) 各列の m 個のSLAVEに対して、1個のMASTERが割り当てられる。そして図1(b)に示すように、MASTERは自分の配下

にあるm個のSLAVEと結合され、HOSTはすべてのMASTERと結合されている。この結合網をグローバル・リンクと呼ぶ。グローバル・リンクは、SLAVEとMASTER間、及びMASTERとHOST間の通信に使用される。例えば、HOSTからすべてのSLAVEへのブロードキャストは、まずHOSTがすべてのMASTERに信号を送り、次に各MASTERが自分の配下にあるSLAVEに信号を送ることによって実行される。

(3) 各SLAVEは、逐次処理用ランゲムアクセス・マシン(RAM)であり、ローカルメモリを持つ。



第3章 並列分枝限定アルゴリズム

この章では、2章で述べたトーラス型システム上で動作する並列分枝限定アルゴリズムを提案する。まず3.1で分枝限定法について説明し、3.2で並列分枝限定アルゴリズムを記述する。

3.1 分枝限定法

文献(1)に示された0-1ナップサック問題の例を用いて分枝限定法を説明する。入力として次のような0-1ナップサック問題が与えられたとする。この問題を P_0 で表す。

$$P_0: -3X_1 - 4X_2 - X_3 - 2X_4 \rightarrow \text{最小}$$

$$2X_1 + 3X_2 + X_3 + 3X_4 \leq 4$$

$$X_1, X_2, X_3, X_4 = 0 \text{ 又は } 1$$

P_0 に対して、例えば、 $X_2=0$, $X_2=1$ と固定することによって、2つの部分問題 P_1 , P_2 が得られる。

このように、問題を互いに排反な部分問題の集合に分割する操作を分枝と呼ぶ。一般に部分問題 P_i を分枝して部分問題 P_{i1} , ..., P_{ik} が得られるならば、これらの問題の間には

$$f(P_i) = \min(f(P_{i1}), \dots, f(P_{ik}))$$

の関係が成り立つ。但し、 $f(\cdot)$ は対応する問題の最適解値を表す。従って、部分問題に対する最適解の中で最良の解を全体の最適解(大域的最適解)とすればよい。

分枝限定法は、分枝操作に加えて、枝刈りと呼ばれる操作を用いる。これは、大域的最適解が存在する可能性のない部分問題を、実際に解く前に削除する操作である。枝刈りを行うために、各部分問題 P_i に対して下界値 $g(P_i)$ が計算される。 $g(\cdot)$ が下界値関数であるためには、各 P_i に対して $g(P_i) \leq f(P_i)$ が成り立ち、しかも、 P_i と P_j を分枝して得られるすべての部分問題 P_k の間には $g(P_k) \geq g(P_i)$ の関係が成り立てばよい。例えば、0-1ナップサック問題に対しては「 $X_1=0$ 又は1」の条件を、「 $0 \leq X_1 \leq 1$ 」に緩和して得られる線形計画問題の最適解値が下界値として用いられる。前述の例を更に続け、 P_1 に対して $X_4=0$, $X_4=1$ と固定して得られる部分問題を P_3 , P_4 とすると $g(P_3)$ を求める過程で整数解が得られる。つまり、 P_3 に対して「 $X_1=0$ 又は1」や「 $X_3=0$ 又は1」の分枝を行わなくても、 P_3 の最適解 $f(P_3)$ が得られたことになる。更に P_4 に対しては $g(P_4) = -7/2 \geq f(P_3) = -4$ であり、 $f(P_4)$ を求めても $f(P_4)$ は大域的最適解には成り得ないことがわかる。そこで、 P_4 は枝刈りされる。分枝限定法の計算途中において、それまでに見つかった可能解の中で最良の解を暫定解と呼ぶ。上記の P_4 の例のように、暫定解値以上の下界値を持つ部分問題が枝刈りされる。

3.2 並列分枝限定アルゴリズム

3.2.1 概要

各SLAVEはスタックを持ち、スタックの中に活性的な部分問題（分枝や枝刈りが適用されずにいる部分問題）を記憶する。各SLAVEは、スタックが空でないならば、スタックの先頭の部分問題 P_i を取り出し下界値を計算する。この結果 P_i が分枝され新たな部分問題が生成されるならば、その半分を自分自身のスタックに入れ、残りの半分を下位SLAVEに送る。また、各SLAVEは、自分が持つ部分問題の数が右隣のSLAVEの部分問題の数より2以上多いとき、部分問題の1個を右隣のSLAVEに送る。この方法によって、各SLAVEが持つ部分問題の数の均一化をはかる。

更に暫定解 Z が更新される場合のプロードキャストは、次の方法で行われる。SLAVEは暫定解 Z を記憶しており、各繰り返しにおいてこの値をMASTERに送る。MASTERは送られてくる Z の中の最小値をHOSTに送り、HOSTは送られてくる Z の中の最小値をMASTER経由ですべてのSLAVEに送る。

3.2.2 アルゴリズムの詳細

各プロセッサの状態を次のように定義する。

実行状態：処理を実行中の状態

wait状態：他のプロセッサから信号又はデータを待っている状態

停止状態：動作を停止している状態

停止状態からwait状態への移行は起動信号によって行われ、wait状態から停止状態への移行はstop信号によって行われる。また、各プロセッサは、他のプロセッサから信号が送られてくるとwait状態から実行状態に移り、その処理が終了した時点でwait状態に戻る。

また、上記の起動信号、stop信号以外に次の信号が用いられる。

repeat信号：HOSTがMASTER経由で、SLAVEを実行状態に移す信号

idle信号：SLAVEがMASTER経由でHOSTに対して、自分のスタックが空であることを伝える信号

busy信号：SLAVEがMASTER経由でHOSTに対して、自分のスタックが空でないことを伝える信号

empty信号：各SLAVEが右隣り及び下位のSLAVEに対して、伝送する部分問題が存在しないことを伝える信号

{起動ルーチン}

HOSTが、次の(1)～(4)の順に処理を行う。

(1) 起動信号をMASTER経由ですべてのSLAVEに送る（この信号によって、MASTERやSLAVEは起動されwait状態になる）。

(2) 下界値計算のためのプログラム、入力データ（ナップサック問題の場合には、目的関数の係数と制約式の係数）及び暫定解 $Z = \infty$ を、MASTER経由ですべてのSLAVEにロードする。

(3) MASTER経由でSLAVE(0, 0)に部分問題 P_0 をロードする。

(4) MASTER経由ですべてのSLAVEにrepeat信号を送る。

{繰り返しルーチンと停止のための処理}

SLAVE、MASTER、HOSTごとに記述する。

・SLAVEの動作

MASTERからのrepeat信号を受信すると、左右のSLAVE間での部分問題数の均一化、スタックの先頭の部分問題に対する下界値の計算と分枝、上下のSLAVE間での部分問題の移動の処理を連続して行う。この一連の処理を1回の繰り返しと呼ぶ。なお、SLAVEの動作の詳細を図2に示す。

・MASTERの動作

(1) HOSTからrepeat信号と暫定解 Z が送られてくれば、これを自分の配下にあるすべてのSLAVEに送る。

(2) HOSTからstop信号が送られてくれば、これを自分の配下にあるすべてのSLAVEに送り、自分自身の動作を停止する。

(3) SLAVEからidle信号又はbusy信号が送られてくれば、この数をカウントする（但し、(1)でSLAVEにrepeat信号を送るたびにカウント値を0にクリアしておく）。そして、このカウント値が m （自分の配下にあるSLAVEの数）に等しくなった時点で、2つの場合ごとに処理を行う。

```

procedure SLAVE
begin
  if MASTERからstop信号が送られてくる then
    動作を停止する;
  if MASTERからrepeat信号とZが送られてくる
  then begin
    自分のもつ暫定解Z(S)をZに更新する;
    if (自分のもつ部分問題の数) ≥ (右隣の
      SLAVEがもつ部分問題の数)+2 then
      部分問題の1個を右隣のSLAVEへ送る;
    else
      empty信号を右隣のSLAVEへ送る;
    左隣のSLAVEから部分問題又はempty信号が
    送られてくるの待ち、もし部分問題が送られ
    てくればこれをスタックへ挿入する;
    if スタックが空でない then begin
      スタックの先頭の部分問題Piを取り出す;
      Piの下界値g(Pi)を計算する;
      if 最適解f(Pi)が得られる then begin
        if Z(S)>f(Pi) then
          Z(S)をf(Pi)に更新する;
        下位SLAVEにempty信号を送る;
      end
    else
      if g(Pi)<Z(S) then begin
        Piを部分問題P11, ..., P1kに分割する;
        P11, ..., P1(k/2) をスタックの先頭に
        挿入;
        P1(k/2)+1, ..., P1kを下位SLAVEへ送る;
      end
    end {if}
    上位SLAVEから部分問題又はempty信号が送ら
    れてくるの待ち、部分問題が送られてくれば
    これをスタックへ挿入する;
    if スタックが空である then
      idle信号とZ(S)をMASTERへ送る;
    else
      busy信号とZ(S)をMASTERへ送る;
    end {if}
  end {SLAVE}

```

図2. SLAVEの動作

case 1: すべてのSLAVEからの信号がidle信号であった場合

このときHOSTにidle信号を送る。

case 2: 少なくとも一つのSLAVEからの信号がbusy信号であった場合

busy信号と、SLAVEから送られてきた暫定解Zの中での最小値をHOSTに送る。

・HOSTの動作

MASTERにrepeat信号を送った後、新たにMASTERから送られてくるidle信号又はbusy信号の数をカウントしておく。そして、この数がm(MASTERの数)に等しくなった時点で、2つの場合ごとに以下の処理を行う。

case 1: すべてのMASTERからの信号がidle信号であった場合

このときすべてのMASTERにstop信号を送る。

case 2: 少なくとも一つのMASTERからの信号がbusy信号であった場合

repeat信号とMASTERから送られてきた暫定解Zの中での最小値をすべてのMASTERに送る。

3.3 計算時間の評価

ここでは、3.2で述べたアルゴリズムの1回の繰り返しに要す時間を評価する。便宜上、各SLAVEに対して番号 i ($1 \leq i \leq m^2$) が与えられているものとし、番号 i をもつSLAVEの上位SLAVEの番号を $U(i)$ で表す。

番号 i ($1 \leq i \leq m^2$)を持つSLAVEが、MASTERからのrepeat信号を受信した後MASTERへbusy信号(又はidle信号)を送信するまでの時間を $t(i)$ で表す。更に、

$t_r(i)$:部分問題の1個を右隣のSLAVEに送るのに要す時間

$t_l(i)$:左隣のSLAVEから送られてきた部分問題をバッファからスタックへ移すのに要す時間

$t_o(i)$:スタックの先頭の部分問題を取り出し、この部分問題に対して下界値計算と分枝操作を実行するのに要す時間

$t_d(i)$:分枝して生成された部分問題の半分を下位SLAVEへ送るのに要す時間

$t_u(i)$:上位SLAVEから送られてきた部分問題をバッファからスタックへ移すのに要す時間

とする。すべての部分問題にに対して部分問題を表現するのに必要なバイト数が等しい場合には、

$t_r(i)$ 、 $t_l(i)$ 、 $t_d(i)$ 、 $t_u(i)$ の値は i に依らず一定の値をもつ。そこで、これらの値を t_r 、 t_l 、 t_d 、 t_u で表すと次式が成り立つ。

$$t(i) = t_r + t_d + \max(p(i), p(U(i))) \quad (1)$$

但し

$$p(i) = t_l + t_o(i) + t_u \quad (2)$$

それゆえ、

t_{q1} : HOSTがすべてのSLAVEに対してrepeat信号と暫定解Zをブロードキャスト

トするのに要す時間

t_{q2} : すべてのSLAVEが同時にbusy信号(又はidle信号)と暫定解ZをHOSTへ送ってから、HOSTがZの最小値を求めるまでの時間

とするとアルゴリズムの1回の繰り返し時間Tは

$$T_0 + t_r + t_d + t_{q1} \leq T_0 + t_r + t_d + t_{q1} + t_{q2} \quad (3)$$

を満たす。但し

$$T_0 = \max \{p(i) \mid 1 \leq i \leq m_2\} \quad (4)$$

であり、 $p(i)$ は式(2)に示された値である。更に

f : 部分問題を表現するのに必要なバイト数

k : 1回の分枝操作で生成される部分問題の数

t_0 : 隣接するプロセッサ間で1バイトのデータ伝送に要す時間

とすると、式(2)、(3)に示された各値は次式で与えられる。

$$\begin{aligned} t_r &= f \cdot t_0, \quad t_d = \lceil k/2 \rceil \cdot f \cdot t_0 \\ t_{q1} &= t_{q2} = 2m t_0 \end{aligned} \quad (5)$$

第4章 アルゴリズムの性能評価

本章では、第3章で述べたトーラス型システムに対する並列分枝限定アルゴリズムの性能を、文献(5)のDONシステムに対するアルゴリズムの性能とシミュレーションにより比較した結果を示す。アルゴリズムを適用した問題は、3.1で述べた0-1ナップサック問題である。また、アルゴリズムの性能を表す尺度としては

$$R_s = \frac{\text{逐次分枝限定アルゴリズムの実行時間}}{\text{並列分枝限定アルゴリズムの実行時間}} \quad (6)$$

で定義される加速指数 R_s を用いた。シミュレーション結果を示す前に、DONシステムについて簡単に説明しておく。DONシステムは、D-Net及びM-Netと呼ばれる2個の木型システムを各々の葉で連結したシステムである。D-Netを構成するプロセッサはDECOMPOSERと呼ばれ、部分問題に対する下界値計算や分枝を実行する。一方、M-Netを構成するプロセッサはMERGERと呼ばれ、暫定解値Zより小さい下界値をも部分問題のみを選び、SC(SYSTEM CONTROLLER)に伝える働きをもつ。そして、SCはMERGERから送られてくる部分問題をスタックへ挿入するとともに、スタックの先頭の部分問題をD-Netの根に送

る働きをもつ。

以下に、シミュレーションに用いた具体的な処理について説明する。

(1) トーラス型システムのアルゴリズムに対しては、 j (≥ 1)回目の繰り返しにおける実行時間を式(6)によって与え(これを $T_0(j)$ で表す)、

$$\sum_{j=1}^J T_0(j) \quad (J: \text{繰り返し回数})$$

によって実行時間を与えた。またDONシステムに対するアルゴリズムに対しても、すべての通信時間は0と仮定した。

(2) トーラス型システムにおけるSLAVE数 m^2 を $m^2 = 16$ と設定した。従って、HOSTも含めた全プロセッサ数は21($=m^2+m+1$)である。一方、DONシステムとしては深さ $d=3$ のDONシステムを用いた。このシステムの全プロセッサ数は31($=2^{d+2}-1$)であり、トーラス型システムのSLAVEに対応する働きをもつDECOMPOSERの数は15($=2^{d+1}-1$)である。なお、 $m^2=16$ 及び $d=3$ と設定した理由は、同じ働きをもつSLAVEとDECOMPOSERの数をほぼ等しくするためである。

(3) (2)で述べたように、実験で用いたトーラス型システムとDONシステムのプロセッサ数は異なる。従って、式(6)の加速指数 R_s によって両者を単純に比較することはできない。そこで、

N_p : 全プロセッサ数(トーラス型システムでは m^2+m+1 、DONシステムでは $2^{d+2}-1$)

N_{SD} : トーラス型システムに対してはSLAVE数 m^2 を表し、DONシステムに対してはDECOMPOSER数 $2^{d+1}-1$ を表す値

とし、 R_s/N_p 及び R_s/N_{SD} によって両者を比較する。

なお、 R_s/N_{SD} 値の比較は次のような意味をもつ。第2章で述べたトーラス型システムにおけるMASTERは、単に暫定解Zの更新のための処理と同期のための処理を行う。同様にDONシステムにおけるMERGERも、単にZより小さい部分問題を選びSYSTEM CONTROLLERに伝える処理を行う。従ってMASTERやMERGERは、部分問題の下界値計算や分枝などの高度な演算を必要とするSLAVEやDECOMPOSERよりも、低価格のプロセッサで構成できる。

まず、乱数によって部分問題の最適値や下界値を与えるシミュレーションモデル⁽¹⁾、⁽⁵⁾を用いた場合の結果を図3に示す。図3の横軸はナップサック問題の変数の個数 n であり、縦軸は R_s/N_p 及び R_s/N_{SD} である。なお、すべての測定点はそれぞれ20個の問題に対する平均値である。図3の実験では実際にはナップサック問題を解かないので、すべての部分問題に対して下界値や分枝を行うのに要す時間は等しいと仮定されている。

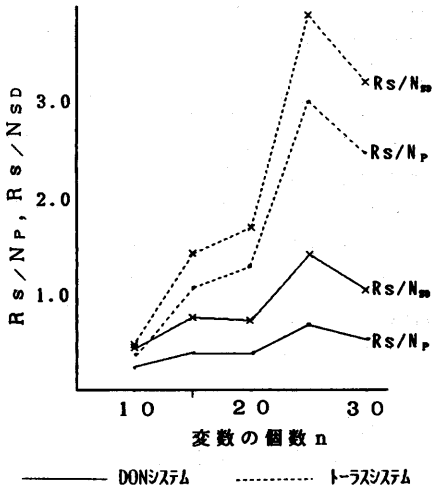
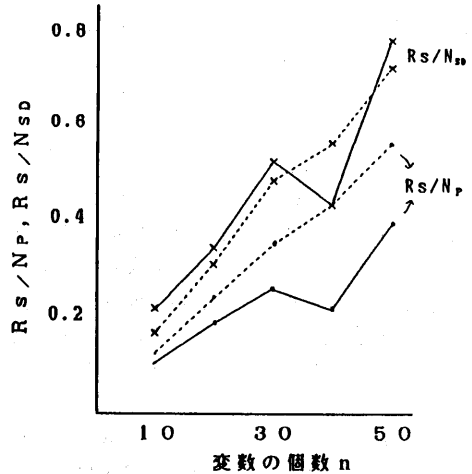


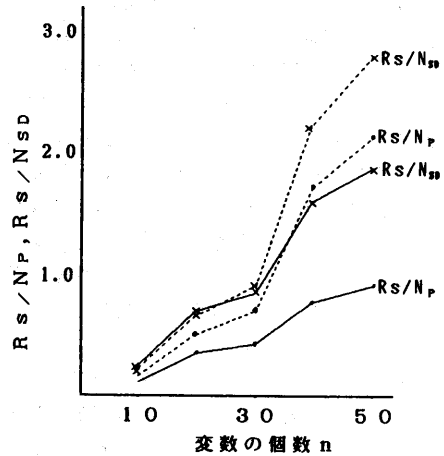
図3 シミュレーションモデルを用いた場合の結果

また、実際にナップサック問題を解いた場合の結果を図4(a)、(b)に示す。図4におけるすべての測定点はそれぞれ20個の問題に対する平均値である。図4の実験においては、ナップサック問題を規定する目的関数の係数 c_i 、制約式の係数 a_i 及び制約式の右辺の値 b は一様分布に従うものとし乱数によって与えた。なお、これらの値を与える方法として次の(A)、(B)2通りの方法を用いた。そして、図4(a)は(A)の方法を用いた場合の結果であり、図4(b)は(B)の方法を用いた場合の結果である。

- (A) c_i, a_i, b はそれぞれ $[1, 100]$ 、 $[100, 100 + n/2]$ 、 $[100, \sum a_i]$ の整数値上の一様分布に従う。
- (B) c_i, a_i, b はそれぞれ $[1, 100]$ 、 $[100, 105]$ 、 $[100 \times n/5, (\sum a_i)/2]$ の整数値上の一様分布に従う。



(a) タイプ(A)の問題の場合



(b) タイプ(B)の問題の場合

図4 ナップサック問題に対するシミュレーション結果

上記の(A)は最適解が比較的容易に求まる問題例を生成し、(B)は最適解を求めることが比較的難しい問題例を生成する。例えば、 $n=40$ に対して逐次分枝限定アルゴリズムによって生成された部分問題の数は、(A)の場合で平均355個、(B)の場合で平均1780個であった。

図3、図4から次のことがいえる。

(i) 図3、図4(a)、(b)のすべての実験に対して、本論文で提案したアルゴリズムの R_s/N_p 値は文献(5)のアルゴリズムの R_s/N_p 値より大きな値をもつ。このことは、プロセッサ数が等しいトーラス型システムとDONシステムを用いたとき、本論文のアルゴリズムが文献(

5) のアルゴリズムよりも大きな加速指数を与えることを意味する。

(ii) R_s/N_{SD} に関しても、図4(a)の実験以外は、本論文のアルゴリズムの R_s/N_{SD} 値が文献(5)のアルゴリズムの R_s/N_{SD} 値より大きな値をもつ。前述したように、図4(a)の実験に用いられた問題は最適解を求めることが比較的容易な問題であり、(b)の実験に用いられた問題は最適解を求めることが比較的難しい問題である。従って図4の結果は、多くの計算時間を要す問題ほど本論文のアルゴリズムが有効となることを示している。

(iii) 本論文のアルゴリズムと文献(5)のアルゴリズムの両方とも、問題の規模が増加するほど加速指数が増加し、しかも比較的計算時間を要す問題では、加速指数がプロセッサの数よりも大きくなる(この現象は加速異常と呼ばれる)。

3. 2で述べた負荷分散手法によって部分問題が全体のSLAVEに行き渡るには、少なくともm回の繰り返しが必要である。図4(a)に示したように、比較的容易に解ける問題に対して本論文のアルゴリズムの加速指数が大きくなるのは、このためと考えられる。しかし、一度部分問題が全体のSLAVEに行き渡ると負荷分散手法は有効に働くことになる。

本論文のアルゴリズムと文献(5)のアルゴリズムの一つの大きな相違点は、前者が部分問題を各SLAVEのスタックに蓄えるのに対して、後者は部分問題のすべてを共通のスタックに蓄える点である。第1章で述べたように、文献(5)のアルゴリズムでは、あるプロセッサ上の部分問題が終端されるとそれより下位のプロセッサが次々と遊休状態に落ちることになる。この問題に対する対策として、DONシステムに対しても、各プロセッサが部分問題の一部を自分のスタックに蓄えておく方法が考えられる。しかし例えば、各部分問題から2個の部分問題が生成されるような場合(実際分枝限定法の多くの適用例でそのような分枝規則が用いられる)、プロセッサが自分に1個の部分問題を残すと、左の子又は右の子のいずれかがやはり遊休状態になる。このように木型システムやDONシステムでは、各プロセッサが部分問題を自分のスタックに蓄える場合でも、各プロセッサ間で部分問題の数の均一化をはかる操作が難しくなる。

第5章 むすび

トラス型マルチプロセッサシステムは、木型マルチプロセッサシステムと同様、高並列度を実現するのに適した並列計算機アーキテクチャと考えられている。本論文では、組合せ最適化問題に対する最も一般的な計算手法である分枝限定法を、トラス型マルチプロセッサシステム上で実行させるためのアルゴリズムを提案した。そしてシミュレーション結果から、提案したアルゴリズムの加速指数が、木型システムを改良したDONシステムに対する既存のアルゴリズム⁽⁵⁾の加速指数より大きくなることが確かめられた。

分枝限定法は基本的には木探索(トリー・サーチ)であるので、本論文のアルゴリズムはPrologの並列処理などにも応用できる。しかしProlog処理の場合には、分枝して得られる各ノードが根から自分に至る道上のすべての履歴を記憶しておくなければならない。従って、プロセッサ間でのノードの移動をできるだけ少なくするような負荷分散手法が必要になる。

[参考文献]

- (1) 茂木俊秀: "組合せ最適化一分枝限定法を中心として(講座数理計画法8)", 産業図書(昭58)。
- (2) 今井, 吉田, 福村: "分枝限定法アルゴリズムの並列化とその評価", 信学論, J62-D, pp.403-410(昭54-6)。
- (3) B.W.Wah and Y.W.E.Ma: "NANIP-a multi-computer architecture for solving combinatorial extremum-search problems", IEEE Trans. Computers, C-33, 5, pp.377-390(1984)。
- (4) 伊藤, 笠原: "最適化マルチプロセッサスケジューリングアルゴリズムの並列処理手法", 昭62前期情処全大, 4Q-5。
- (5) M.Imai: "A double-tree-structured multicomputer system and its application to combinatorial problems", Trans.IECE Japan, E69, 9, pp.1002-1010(1986-9)。
- (6) O.Vornbeger: "Implementing branch-and-bound in a ring of processors", CONPAR 86, Proceedings of Conference on Algorithms and Hardware for Parallel Processing, Aachen, 1986, pp.157-164。
- (7) 富田眞治: "並列計算機構成論", 昭晃堂(昭61)。